羧甲基壳聚糖季铵盐的制备、表征及其 对 Hela细胞的影响

孙立苹 ** 陈 效 b 杜 予民 c

(浙江林学院环境科技学院 临安 311300

^b浙江工业大学生物与环境科学学院 杭州: 武汉大学资源与环境科学学院 武汉)

摘 要 采用氯乙酸为羧甲基化试剂制备了羧甲基壳聚糖,以 3氯 -2羟丙基三甲基氯化铵为季铵阳离子化试剂,合成了羧甲基取代度为 0 73 季铵化取代度为 0 59 分子量为 1 1×10^4 的羧甲基壳聚糖季铵盐。采用傅立叶变换红外光谱、X射线衍射、核磁共振等分析技术对其分子结构进行了表征。研究了羧甲基壳聚糖季铵盐(CMQ)对人宫颈癌 H^eL^a 细胞的影响。结果表明,CMQ能抑制 H^eL^a 细胞增殖,诱导 H^eL^a 细胞发生凋亡。关键词 羧甲基壳聚糖季铵盐,结构表征, H^eL^a 细胞

中图分类号: 0636.1

文献标识码: A

文章编号: 1000-0518(2008)06-0734-04

前文^[1~4]报道了羧甲基壳聚糖以及壳聚糖季铵盐的结构与活性,但是在同一壳聚糖分子链上同时引入羧甲基和季铵盐 2种基团的研究目前还少有报道。由于两性高分子的链节上同时含有正负 2种电荷基团,通过控制 2种基团取代度的大小可以得到不同电荷密度的产物。受在纤维素分子链上同时引入两性基团制备水溶性两性纤维素衍生物^[5],在淀粉分子链上同时引入含季铵阳离子和磷酸阴离子的水溶性的两性淀粉^[6]以及引入含季铵阳离子和羧甲基阴离子的水不溶性两性淀粉研究^[7]的启发,本文以来源丰富的壳聚糖为原料,利用其大分子链上羟基和氨基的反应活性,以氯乙酸为羧甲基化试剂,以3氯-2羟丙基三甲基氯化铵为季铵阳离子化试剂,合成了羧甲基壳聚糖季铵盐,并初步研究了羧甲基壳聚糖季铵盐对人宫颈癌细胞的作用。合成流程如下:

$$\begin{array}{c} \begin{array}{c} \begin{array}{c} \text{CH}_2\text{OH} \\ \text{OH} \end{array} \end{array} \begin{array}{c} \text{NaOH} \\ -20 \text{ °C} \end{array} \begin{array}{c} \text{CH}_2\text{O} \\ \text{OH} \end{array} \begin{array}{c} \text{CICH}_2\text{COOH} \\ \text{20 °C} \end{array} \end{array} \begin{array}{c} \text{CH}_2\text{OCH}_2\text{COOH} \\ \text{OR}_1 \end{array} \begin{array}{c} \text{OR}_1 \end{array} \begin{array}{c} \text{OR}_1 \\ \text{OR}_1 \end{array} \begin{array}{c} \text{OR}_1 \\ \text{OR}_1 \end{array} \begin{array}{c} \text{OR}_1 \end{array} \begin{array}{c} \text{OR}_1 \\ \text{$$

Scheme 1 Synthes is of quaternized carbox in ethyl chitosan

1 实验部分

1.1 试剂和仪器

壳聚糖 (CS), 分子量为 4.5×10^5 , 脱乙酰度为 0.87, 氯乙酸, 异丙醇, 三甲胺, 环氧氯丙烷, 氢氧化钠 均为分析纯试剂。

FTR-8201型傅立叶变换光谱仪(日本岛津公司) KB压片法; Lab XRD-6000型 X射线衍射仪(日 本岛津公司 λ CuK_{α} 射线源, 管电压 40 kV 管电流 50 mA DS/SS0. 5, 扫描速率 $4^{\circ}/\text{min}(2\theta)$, 扫射范围 为8°~40°,测试温度20°C; Mercury VX-300型核磁共振仪(美国 Varian公司)以 Q O为溶剂,DSS为 参照物:№OEC XS402型荧光显微镜 (丌南光电股份有限公司)。JS350型台式紫外分析仪 (上海金达 生化仪器有限公司)。

1.2 羧甲基壳聚糖季铵盐的制备

- 自然解冻后转入三口烧瓶,依次加入 100 ml异丙醇(作溶剂)及 12 毫氯乙酸,室温反应 4 h调节 PH= 7.0 透析, 干燥。
- 后于 31 [℃]下加入 0.086 ^{mo}环氧氯丙烷,搅拌均匀后加热至 51 [℃],然后缓慢滴加 0.1 ^{mo}lNaOH溶液, 再搅拌 2 1后,减压蒸馏,纯化。
- 1.23 羧甲基壳聚糖季铵盐的制备 将制得的 5 。 羧甲基壳聚糖置于三口烧瓶中,加入 200 ml 蒸馏 水, 搅拌, 升温。加入 5 g3氯 g2羟丙基三甲基氯化铵, 80 C下反应 8 g2产物经沉淀, 过滤, 透析, 浓缩, 干燥。 电位滴定法测得羧甲基取代度 $^{[8]}$ 为 $^{[9]}$ 为 $^{[9]}$ 5 容量滴定法测得季铵盐的取代度 $^{[9]}$ 为 $^{[9]}$ 5 $^{[9]}$

1.3 羧甲基壳聚糖季铵盐对 Hela细胞的作用

- 1.3.1 Hoeches 33342染色 法检测细胞核形态 Hel细胞传代培养后接种于 6孔板中,培养 12 \ 将羧 甲基壳聚糖季铵盐转染进入细胞,继续培养 24和 48 $\mathfrak h$ 用磷酸缓冲液 (PBS)清洗,加入体积分数为 1%的 H^{∞ech}es\$3342溶液,37 ℃下避光染色 30 mfi观察染色细胞核形态。
- 1.3.2 调亡 DNA的抽提和琼脂糖凝胶电泳 参照 Watson B ptechnologie:的调亡 DNA(少量)抽提试剂 盒的操作方法抽提 DNA 并分别收集实验组及对照组细胞进行琼脂糖凝胶电泳,紫外观察并拍照。

2 结果与讨论

2.1 红外光谱

图 1为壳聚糖 (CS)、羧甲基壳聚糖 (CM)、羧甲基壳聚糖季铵盐 (CMQ)的 IR图。图中可见,在 CS红外图谱中的 1.655, 1.593, 1.323和 1.381 cm^{-1} 处吸收峰分别为酰胺 I 带、II 带、II 带和II 带和 II 的伸缩振 动峰^[10]。在 (M) 和 (M) 的红外图谱中,位于 1605 和 1419 以及 1603 和 1415 $(m)^{-1}$ 2 处的强吸收峰分 别属于 COO—的不对称和对称伸缩振动峰。在 CM的红外图谱中,原来壳聚糖分子上位于 $1~030~{
m cm}^{-1}$ 处伯位羟基的 C- O伸缩振动峰消失了,证明 6位羟基上的高度羧甲基化。 位于 1 080 cm-1处仲羟基的 特征吸收峰没有明显改变。 CMQ 红外图谱中,在 $1.593~\mathsf{cm}^{-1}$ 处 CS 的 N − H 吸收已经消失,但在 $1.480~^{\text{cm}^{-1}}$ 处出现了1 个新的强吸收峰,这是三甲基季铵离子中的甲基吸收峰,羧甲基壳聚糖与3.5-2-

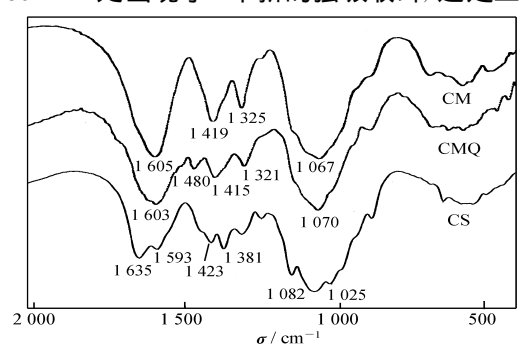


图 1 壳聚糖(CS)、羧甲基壳聚糖(CM)、羧甲基壳 聚糖季铵盐 (CMQ)的红外谱图

Fig 1 FT-R spectra of CS CM and CMQ

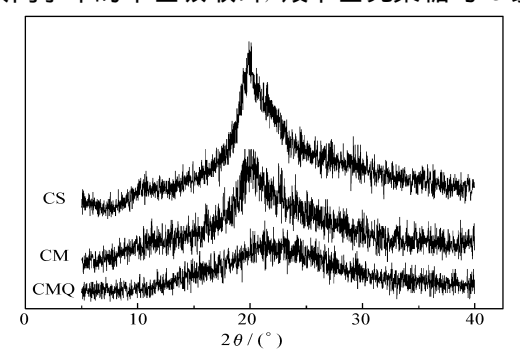


图 2壳聚糖(CS)、羧甲基壳聚糖(CM)、羧甲基 売聚糖季铵盐 (CMQ)的 X衍射谱图

Fig. 2 X-ray diffraction patterns of CS CM and CMQ

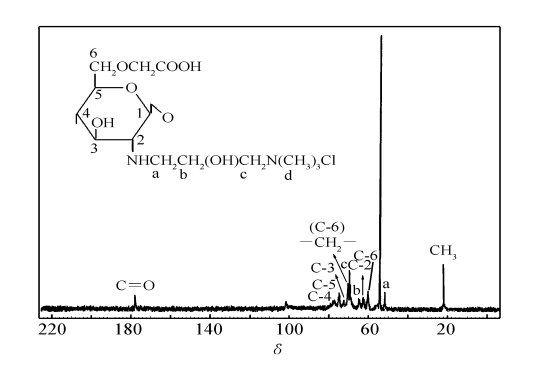
羟丙基三甲基氯化铵作用时发生的是亲核取代反应,即羧甲基壳聚糖分子中的氨基为亲核试剂 $^{[1]}$ 。结果表明,产物为 6位被羧甲基取代的 N-(2 羟基 3 三甲基丙基)氯化铵壳聚糖季铵盐。

2 2 X射线衍射谱图

图 2为壳聚糖(CS)、羧甲基壳聚糖(CM)、羧甲基壳聚糖季铵盐(CMQ的广角 X衍射谱图。图中可见,CS在 2θ 为 12 和 21 处出现 2个特征峰,呈现" L_2 $Polymorph</sub>"晶型衍射图 <math>P(12^{-13})$ 。由于羧甲基的取代反应使得在 $P(12^{-13})$ 的上, $P(12^{-$

2 3 ¹³ C NMR和 ¹ H NMR谱图

图 3为羧甲基壳聚糖季铵盐(CMQ)的¹³ C NMR谱图。图中可见, δ 54. 3处峰非常强,为三甲铵基中碳(C- δ)的吸收; δ 178处为羧基在 6位取代的特征峰。而在 δ 101. 5. 62. 6. 72. 4. 77. 9. 74. 9和 60. 8处的峰分别归属于 C- δ 1、C2、C3、C4、C5 及 C6,在 δ 51. 7及 68. 7处的峰则可归属于 C- δ 3 及 C- δ 64. 4峰可归属为 C- δ 6 而 δ 22. 5处则是壳聚糖分子中残留乙酰基中的甲基碳。其中季铵盐结构中峰的归属与 C- δ 1 报道一致。



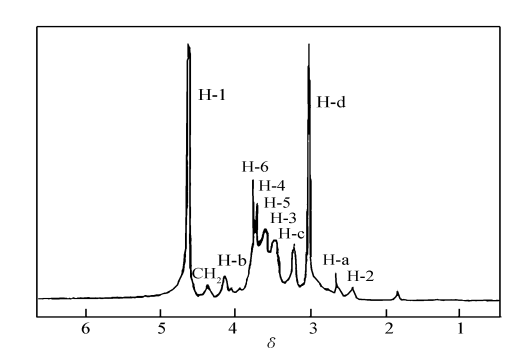


图 3 羧甲基壳聚糖季铵盐 (CMQ)的 ^B C NMR谱图 Fig 3 ^B C NMR spectrum of CMQ

图 4 羧甲基壳聚糖季铵盐 (CMQ)的 HNMR谱图 F § 4 HNMR spectrum of CMQ

图 4为羧甲基壳聚糖季铵盐((MQ)的 1 H 1 H 2 H 3 是 图中可见, 3 1. 83处的强峰归属于壳聚糖分子中残留乙酰基中的甲基氢。最强峰 3 3. 04归属于季铵基中甲基上的氢; 3 4. 58. 2. 66. 3. 52. 3. 71、 3. 59 和 3. 74分别归属于 3 H 4 D 4 E 4 H 4 H 4 D 4 E 4 E

2.4 Hoeches染色后细胞核的形态

图 5^{a} 为未经 (MQ处理的 H^{e} 细胞形态,细胞始终为多角形,梭形,贴壁牢固,极少见到凋亡细胞和凋亡小体。图 5^{e} 和图 5^{e} 为经过羧甲基壳聚糖季铵盐处理不同时间后的 H^{e} 细胞形态。图中可见,

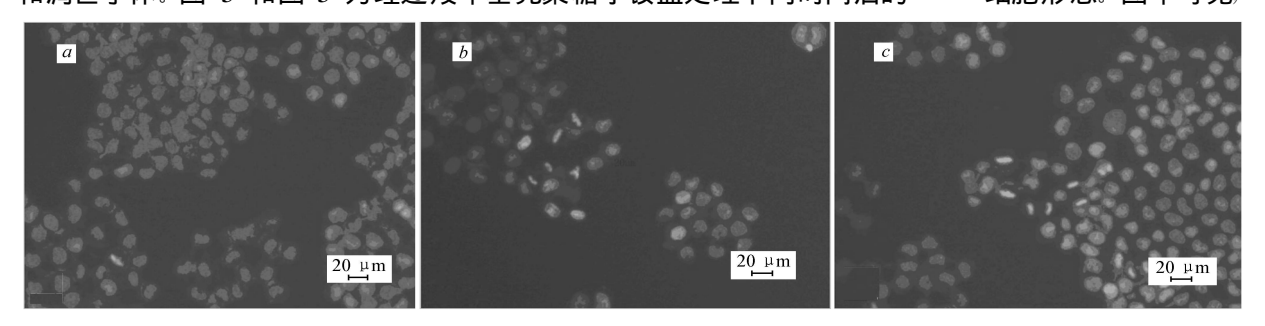


图 5 经 CMQ处理不同时间的 HeLa细胞形态 Fig 5 Morphology of HeLa cells treated with CMQ for different times

24 h后细胞变圆,体积缩小,细胞核发生分裂,但细胞膜完整;48 h后有较多凋亡细胞,表现为细胞体积变小,细胞浆密度增大,颜色变深,染色质致密固缩聚集于细胞核,核膜呈境界分明的块状或新月形小体,细胞核裂解。凋亡小体内有完整的细胞器。细胞染色质皱缩,聚集在核膜边缘或贴近核膜,出现细胞凋亡的特征性改变。

2.5 DNA凝胶电泳

经羧甲基壳聚糖处理后,HeLa细胞 DNA断裂,细胞电泳图(图 6)上出现凋亡细胞的拖尾带,处理 48 与后拖尾现象尤为严重。

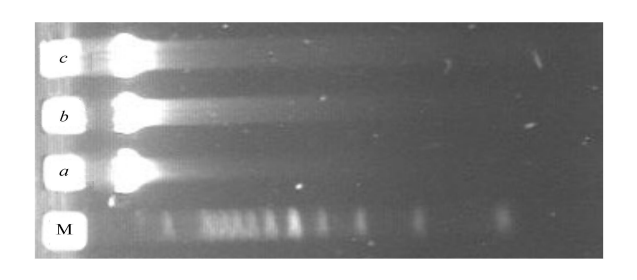


图 6 细胞 DNA凝胶电泳
FF 6 DNA fragmentation of HeLa cells(M. DNA Marker)
Time stained by (MQ/ḥ a Q, b 24, 5 48

参考文献

- 1 Chen LY, Du YM. Birmaterials J, 2004 25 3 725
- 2 Sun L P DU Y M. Acta Po Mm Sin J, 2004 2 191
- 3 Li H B, Du Y M. Colloid and surfaces B. Physicochem Eng Aspects J, 2004 242 1
- 4 Xu Y M, Du Y M, Biomaterials J, 2003 24 5 015
- 5 ZHANG LiMing(张黎明), LI ZuoMei(李卓美), Chinese J APPl Chem(应用化学)[J, 1998 15(4), 5
- 6 Xu SM, Zhang S F Lu R W. J Appl Po Mm Sci J, 2003 89 263
- 7 ChanW C J Appl Polym Sci J, 1993 **50** 1733
- 8 MuzzarelliR A A GiacomelliG Carlohydr Polym J, 1987 7: 87
- 9 MuzzarelliR A A Tanfan i F EmanuelliM Carlohydr Res J, 1984 126 225
- 10 Zong Z Kimmura Y Takahashi M. Polymer J, 2000 41 899
- 11 Loubaki E, Qurevitch M, Sicsic S, Eur Polym J, 1991, 27, 311
- 12 Sato H. Tabeta R. Macromolecules J., 1987, 20 2 424
- 13 Kim JH, Lee YM. Po Mm et J, 1993 34 1 952

Synthesis, Characterization of Quaternized Carboxymethyl Chitosan and its Effect on HeLa Cells

SUN LiPing*, CHEN Xiao, DU YuMin°

(a School of Environmental Science and Technology Zhejiang Forestry College Lin'an 311300, b College of B jology and Environmental Science Zhejiang University of Technology Hangthou, c College of Resources and Environmental Science Wuhan University Wuhan)

Abstract A new approach to preparation of chemically modified carboxymethyl chitosan (CM) derivatives was reported where CM was prepared from chitosan with chloroactic acid as the carboxymethyl reagent first and then N-quaternary ammonium group was introduced by the reaction of CM with 2 3-epoxypropyl trimethyl ammonium. The degree of substitution (DS) of carboxymethyl group was 0.73 and the DS of the quaternization group was 0.59. The mass averaged molecular weight of CMQ was 1.1×10⁴. The structures of the derivatives were characterized by FT-IR XRD and ¹³ C NMR. The effect of the CMQ on the human cervical carcinoma HeLa cells showed that CMQ can inhibit the proliferation and induce the apoptosis of HeLa cells. Keywords quaternized carboxymethyl chitosan structure characterization HeLa cells